

РОССИЙСКАЯ АКАДЕМИЯ НАУК  
СИБИРСКОЕ ОТДЕЛЕНИЕ

А В Т О М Е Т Р И Я

---

2002, том 38, № 6

УДК 621.319.26

В. К. Ключко

(Рязань)

МЕТОДИКА ОПРЕДЕЛЕНИЯ КООРДИНАТ  
ДОПЛЕРОВСКИХ ЭЛЕМЕНТОВ РАЗРЕШЕНИЯ  
БОРТОВОЙ РАДИОЛОКАЦИОННОЙ СИСТЕМЫ  
ПРИ ПОЛУЧЕНИИ ТРЕХМЕРНЫХ ИЗОБРАЖЕНИЙ  
ПОВЕРХНОСТИ

Предложены методика и алгоритм определения координат элементов разрешения импульсно-доплеровской бортовой радиолокационной системы, позволяющие повысить разрешающую способность трехмерных радиолокационных изображений земной поверхности при маловысотном полете.

**Введение.** В информационных системах обеспечения маловысотного полета на базе бортовых радиолокационных систем (БРЛС) [1] при получении изображения земной поверхности в моменты времени  $t_0, t_1, \dots, t_N, \dots$  используются массивы данных  $A_N(R_i, \phi_j, \theta_k) = A_N(i, j, k)$ , представляющие амплитуду отраженного сигнала в каждом  $i$ -,  $j$ -,  $k$ -м элементе разрешения (ЭР) антенны с размерами  $R_i \pm \Delta R/2, \phi_j \pm \Delta\phi/2, \theta_k \pm \Delta\theta/2$ , где  $R_i, \phi_j, \theta_k$  – сферические координаты центра  $i$ -,  $j$ -,  $k$ -го ЭР ( дальность, азимут, угол места);  $\Delta R, \Delta\phi, \Delta\theta$  – разрешающая способность по  $R, \phi, \theta$ . Из-за больших угловых размеров  $\Delta\phi, \Delta\theta$  диаграммы направленности антенны (ДНА) БРЛС изображение поверхности получается размытым. В связи с этим возникает проблема получения качественных (различимых) изображений поверхности путем уменьшения угловых размеров  $\Delta\phi$  и  $\Delta\theta$  ЭР.

В существующих импульсно-доплеровских БРЛС переднебокового обзора при наблюдении за поверхностью на большой дальности и большой высоте полета из-за большой величины  $\Delta\theta$  высоту поверхности обычно не учитывают и первичное изображение получают в виде матрицы амплитуд  $A_N(i, j)$  в системе двух координат ( дальность  $R_i$  и доплеровская частота  $f_j$  (или азимут  $\phi_j$ )), при этом разрешение по азимуту  $\Delta\phi$  за счет узкополосной доплеровской фильтрации уменьшается в несколько раз. Однако на малой высоте (в режиме маловысотного полета), когда информация о высоте поверхности становится существенной, такой подход неприменим. Поэтому актуальна разработка алгоритмического обеспечения маловысотного полета, в основе которого лежит описание данных первичной обработки импульсно-доплеровской БРЛС в трехмерных системах координат.

Возникает новая концепция [2] пространственно-временной обработки трехмерных радиолокационных (РЛ) изображений поверхности на основе

БРЛС с электронным сканированием, которая базируется на новой технологии получения РЛ-данных за счет электронного управления лучом и алгоритмически предполагает обработку первичной РЛ-информации, полученной с учетом доплеровской обработки и привязанной к моментам времени  $t_0, t_1, \dots, t_N$  в единой прямоугольной трехмерной системе координат  $x, y, z$  с определением координат доплеровских ЭР (ДЭР). Ниже предлагаются методика расчета и алгоритм определения координат ДЭР применительно к концепции [2].

**Модель доплеровского элемента разрешения и постановка задачи.** В текущий момент времени  $t_N$  рассматривается самолетная прямоугольная система координат  $\langle O_c, x_c, y_c, z_c \rangle$  (рис. 1). Элемент разрешения представляет пространственную фигуру, образованную пересечением конической поверхности ДНА  $\phi_0 \pm \Delta\phi/2, \theta_0 \pm \Delta\theta/2$  с вершиной в точке  $O_c$ , угловыми координатами  $(\phi_0, \theta_0)$  линии визирования (вектора  $a_0$  на рис. 1) и двух сферических поверхностей постоянного уровня дальности  $R_0 \pm \Delta R/2$  с центром в точке  $O_c$ . Центром данного ЭР является точка  $O$  со сферическими координатами  $(R_0, \phi_0, \theta_0)$ , положительный отсчет  $\phi$  и  $\theta$  осуществляется против часовой стрелки относительно оси  $O_c x_c$ .

Наличие доплеровских узкополосных фильтров с геометрической точки зрения означает дополнительное рассечение поверхности ЭР рядом конических поверхностей постоянного уровня доплеровской скорости  $v_n$  с вершиной в точке  $O_c$  и осью симметрии, совпадающей с вектором скорости  $v$  движения объекта-носителя радиолокационной системы (РЛС), направленным по оси  $O_c x_c$ . В результате образуются более мелкие элементы разрешения в виде сложных пространственных областей ДЭР разных размеров и с различной ориентацией в пространстве.

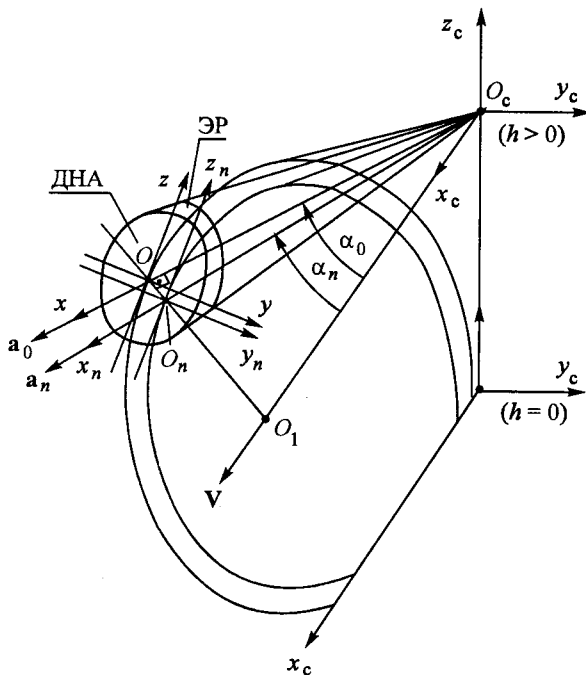


Рис. 1

Задача состоит в определении сферических координат ДЭР с последующим их пересчетом в единую прямоугольную систему координат, что позволяет реализовать методы пространственно-временной обработки трехмерных РЛ-изображений [2] по совокупности всех ДЭР, полученных в моменты  $t_0, t_1, \dots, t_N, \dots$ .

Принципиальное решение задачи может быть получено следующим образом. Обозначим  $\alpha_n$  угол между осью  $O_c x_c$  (вектором  $\mathbf{v}$ ) и образующей  $O_c O_n$  (вектором  $\mathbf{a}_n$ )  $n$ -го конуса постоянной доплеровской скорости  $v_n$  (см. рис. 1).

Связь  $\alpha_n$  с угловыми координатами  $(\phi_n, \theta_n)$  вектора  $\mathbf{a}_n$  устанавливается по формуле

$$\cos\alpha_n = \cos\phi_n \cdot \cos\theta_n, \quad (1)$$

где  $\cos\alpha_n$  находится через скалярное произведение орта  $\mathbf{i}_c$  оси  $O_c x_c$  и орта  $\mathbf{a}_n$  оси  $O_c O_n$ . Действительно, координаты вектора  $\mathbf{a}_n$ , имеющие в местной прямоугольной системе  $\langle O_n, x_n, y_n, z_n \rangle$   $n$ -го ДЭР канонический вид  $(1, 0, 0)$ , в самолетной системе  $\langle O_c, x_c, y_c, z_c \rangle$  находятся по формуле связи старых и новых координат при преобразовании типа поворота на угол  $\phi_n$  вокруг оси  $O_c z_c$  и затем поворота на угол  $\theta_n$  вокруг оси  $O_c y'_c$ :

$$\begin{pmatrix} \cos\phi_n & -\sin\phi_n & 0 \\ \sin\phi_n & \cos\phi_n & 0 \\ 0 & 0 & 1 \end{pmatrix} \begin{pmatrix} \cos\theta_n & 0 & -\sin\theta_n \\ 0 & 1 & 0 \\ \sin\theta_n & 0 & \cos\theta_n \end{pmatrix} \begin{pmatrix} 1 \\ 0 \\ 0 \end{pmatrix} = \begin{pmatrix} \cos\phi_n \cdot \cos\theta_n \\ \sin\phi_n \cdot \cos\theta_n \\ \sin\theta_n \end{pmatrix},$$

что равносильно повороту  $\mathbf{i}_c = (1, 0, 0)$  на угол  $\phi_n$  вокруг оси  $O_c z_c$  в плоскости  $O_c x_c y_c$  и затем повороту на угол  $\theta_n$  вокруг оси  $O_c y'_c$  в плоскости  $O_c x'_c z_c$ . В результате получается вектор

$$\mathbf{a}_n = (\cos\phi_n \cdot \cos\theta_n, \sin\phi_n \cdot \cos\theta_n, \sin\theta_n),$$

причем  $|\mathbf{a}_n| = 1$ . Тогда

$$\cos\alpha_n = \mathbf{i}_c \cdot \mathbf{a}_n = \cos\phi_n \cdot \cos\theta_n.$$

Использование формулы (1) при определении координат  $n$ -го ДЭР данного элемента разрешения сводится к численному решению нелинейного уравнения для каждого значения доплеровского угла

$$\alpha \in [\alpha_n - \Delta\alpha_n/2, \alpha_n + \Delta\alpha_n/2],$$

где  $\alpha_n$  – доплеровский угол, соответствующий доплеровской частоте  $f_n$  и центру  $n$ -го ДЭР, при ограничениях

$$\phi_n \in [\phi_0 - \Delta\phi/2, \phi_0 + \Delta\phi/2], \quad \theta_n \in [\theta_0 - \Delta\theta/2, \theta_0 + \Delta\theta/2].$$

Разрешение по углу  $\Delta\alpha_n$  соответствует разрешению по скорости  $\Delta v$  (ширине  $\Delta f$  полосы частот узкополосного доплеровского фильтра) и связано с  $\alpha_n$  нелинейной зависимостью

$$\Delta v = 2v \sin\alpha_n \cdot \sin\Delta\alpha_n, \quad \alpha_n \in [0, \pi/2],$$

при фиксированных значениях  $v$  и  $\Delta v$ .

Для работы в реальном масштабе времени требуется более простое описание ДЭР в виде линейных зависимостей. Далее предлагается методика определения таких зависимостей, основанная на аппроксимации конических и сферических поверхностей цилиндрическими и плоскими, допустимая в пределах ЭР.

**Линейная модель допплеровского элемента разрешения.** Описание ДЭР в виде линейных зависимостей получается следующим образом.

1. Рассматривается данный ЭР с центральной точкой  $O$ , которая имеет сферические  $(R_0, \phi_0, \theta_0)$  и прямоугольные  $(x_0, y_0, z_0)$  координаты. Через точку  $O$  проводится касательная плоскость к сферической поверхности  $R = \text{const}$ , которая пересекает ось  $O_c O_c$  в точке  $O_1(x_1, 0, 0)$ . Координата  $x_1$  находится из условия ортогональности векторов  $O_c O = (x_0, y_0, z_0)$  и  $O_1 O = (x_0 - x_1, y_0, z_0)$  через скалярное произведение:

$$O_c O \cdot O_1 O = 0 \Rightarrow x_1 = (x_0^2 + y_0^2 + z_0^2)/x_0 = R_0^2/x_0. \quad (2)$$

2. Задается допплеровский угол  $\alpha = \alpha_n$  центра  $n$ -го ДЭР, рассматриваемого в составе данного ЭР. Коническая поверхность  $\alpha_n = \text{const}$  в пределах ЭР может рассматриваться как цилиндрическая, которая пересекает касательную плоскость по линии окружности с центром в точке  $O_1$  (рис. 2). Через точку  $C = O_n$  пересечения данной окружности с отрезком  $O_1 O$  проводится касательная прямая, представляющая центральную продольную ось  $n$ -го ДЭР и пересекающая ЭР в точках  $A$  и  $B$ . Считается (для круговой ДНА), что отрезок  $AB$  любого  $n$ -го ДЭР в составе данного ЭР составляет с осью  $Oy$  угол  $\beta$ , который отсчитывается в положительном направлении против часовой стрелки.

3. Угловой коэффициент  $b$  продольной оси ДЭР (отрезка  $AB$ ) определяется формулой

$$b = \operatorname{tg} \beta = \pm |\operatorname{tg} \phi_0| (1 + \operatorname{ctg}^2 \theta_0)^{1/2}, \quad (3)$$

где  $\phi_0$  и  $\theta_0$  – угловые координаты точки  $O$ ;  $\phi_0, \theta_0 \in (-\pi/2, \pi/2)$ ,  $\theta_0 \neq 0$ .

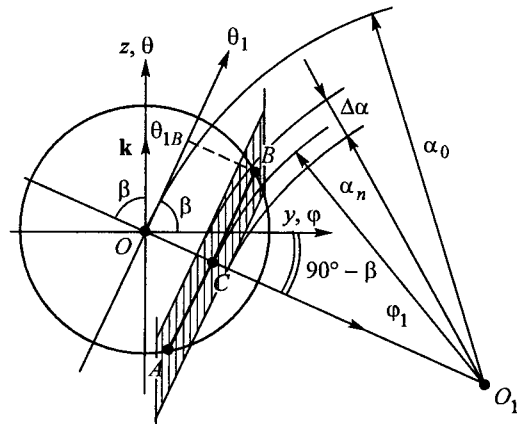


Рис. 2

Расчет формулы (3) основан на определении косинуса угла  $\beta$  между вектором  $\mathbf{O}_1\mathbf{O}$  и ортом  $\mathbf{k}$  оси  $Oz$ , который совпадает с углом наклона  $AB$  к оси  $Oy$  (см. рис. 2). Координаты вектора  $\mathbf{k}$  в системе  $\langle O_c, x_c, y_c, z_c \rangle$  находятся с помощью преобразований, аналогичных преобразованиям при выводе формулы (1):

$$\begin{pmatrix} \cos\phi_0 & -\sin\phi_0 & 0 \\ \sin\phi_0 & \cos\phi_0 & 0 \\ 0 & 0 & 1 \end{pmatrix} \begin{pmatrix} \cos\theta_0 & 0 & -\sin\theta_0 \\ 0 & 1 & 0 \\ \sin\theta_0 & 0 & \cos\theta_0 \end{pmatrix} \begin{pmatrix} 0 \\ 0 \\ 1 \end{pmatrix} = \begin{pmatrix} -\cos\phi_0 \cdot \sin\theta_0 \\ -\sin\phi_0 \cdot \sin\theta_0 \\ \cos\theta_0 \end{pmatrix},$$

что равносильно повороту осей  $O_cx_c$  и  $O_cy_c$  на угол  $\phi_0$  вокруг оси  $O_cz_c$  и затем повороту осей  $O_cx'_c$  и  $O_cz_c$  на угол  $\theta_0$  вокруг оси  $O_cy'_c$ . В результате получается вектор

$$\mathbf{k} = (-\cos\phi_0 \cdot \sin\theta_0, -\sin\phi_0 \cdot \sin\theta_0, \cos\theta_0),$$

причем  $|\mathbf{k}|=1$ .

Вектор  $\mathbf{O}_1\mathbf{O}$  определяется с учетом (2):

$$\mathbf{O}_1\mathbf{O} = (x - x_1, y, z) = (x - (x^2 + y^2 + z^2)/x, y, z) = (-(y^2 + z^2)/x, y, z),$$

причем

$$|\mathbf{O}_1\mathbf{O}| = ((y^2 + z^2)^2/x^2 + y^2 + z^2)^{1/2} = R_0((y/x)^2 + (z/x)^2)^{1/2},$$

где  $R_0 = (x^2 + y^2 + z^2)^{1/2}$ ,  $x = x_0$ ,  $y = y_0$ ,  $z = z_0$ .

С учетом связи  $x = R\cos\theta \cdot \cos\varphi$ ,  $y = R\cos\theta \cdot \sin\varphi$ ,  $z = R\sin\theta$  скалярное произведение  $\mathbf{O}_1\mathbf{O} \cdot \mathbf{k}$  и длина вектора  $\mathbf{O}_1\mathbf{O}$  находятся следующим образом:

$$\begin{aligned} \mathbf{O}_1\mathbf{O} \cdot \mathbf{k} &= (y^2 + z^2)\cos\varphi \cdot \sin\theta/x - y\sin\varphi \cdot \sin\theta + z\cos\theta = \\ &= R(\sin^2\theta/\cos\theta + \sin\theta \cdot \cos\theta) = R\tg\theta, \end{aligned}$$

$$|\mathbf{O}_1\mathbf{O}| = R(\tg^2\varphi + \tg^2\theta/\cos^2\varphi)^{1/2} = R(\sin^2\varphi + \tg^2\theta)^{1/2}/|\cos\varphi|,$$

где  $R = R_0$ ,  $\varphi = \phi_0$ ,  $\theta = \theta_0$ . Тогда

$$\cos\beta = |\cos\varphi| \tg\theta / (\sin^2\varphi + \tg^2\theta)^{1/2} = \pm |\cos\varphi| / (1 + \sin^2\varphi \cdot \ctg^2\theta)^{1/2}, \quad (4)$$

$$\begin{aligned} b = \tg\beta &= \pm ((1 - \cos^2\beta)/\cos^2\beta)^{1/2} = \pm (\sin^2\varphi (1 + \tg^2\theta) / (\tg^2\theta \cdot \cos^2\varphi))^{1/2} = \\ &= \pm |\tg\varphi| (1 + \ctg^2\theta)^{1/2}, \quad \varphi = \phi_0, \quad \theta = \theta_0 \neq 0. \end{aligned}$$

Знак  $b$  определяется знаками  $\phi_0$  и  $\theta_0$ : если  $\phi_0$  и  $\theta_0$  имеют разные знаки, то  $b$  положителен, если одинаковые – отрицателен. Если принять положитель-

ный отсчет  $\phi$  и  $\theta$  по часовой стрелке, то формула для углового коэффициента примет вид

$$b = \operatorname{tg} \phi_0 (1 + \operatorname{tg}^2 \theta_0)^{1/2} / \operatorname{tg} \theta_0. \quad (5)$$

Формулы (3)–(5) не зависят от дальности  $R$  и позволяют выполнить расчеты заранее для различных значений  $\phi_0$  и  $\theta_0$ .

4. Для круговой ( $\Delta\phi = \Delta\theta$ ) ДНА в местной угловой системе координат  $\langle O, \phi, \theta \rangle$  данного ЭР (см. рис. 2) угловые координаты  $\phi_{0C}$  и  $\theta_{0C}$  центральной точки  $C$  продольной оси  $AB$ , соответствующей заданному доплеровскому углу  $\alpha_n$ , находятся по формулам

$$\phi_{0C} = (\alpha_0 - \alpha_n) \cos(90^\circ - \beta) = (\alpha_0 - \alpha_n) \sin \beta,$$

$$\theta_{0C} = -(\alpha_0 - \alpha_n) \sin(90^\circ - \beta) = (\alpha_n - \alpha_0) \cos \beta \quad \text{при } \theta_0 < 0$$

или

$$\phi_{0C} = (\alpha_n - \alpha_0) \sin \beta, \quad \theta_{0C} = (\alpha_0 - \alpha_n) \cos \beta \quad \text{при } \theta_0 > 0,$$

где  $\alpha_0$  – доплеровский угол, соответствующий точке  $O$  и вычисляемый по формуле

$$\alpha_0 = \arccos(\cos \phi_0 \cdot \cos \theta_0); \quad (6)$$

$\cos \beta$  определен формулой (4);  $\sin \beta = \pm(1 - \cos^2 \beta)^{1/2}$ ; знак  $\beta$  совпадает со знаком углового коэффициента  $b$  (положительный отсчет  $\beta$  против часовой стрелки); определение  $\alpha = \alpha_n$  дается далее в описании алгоритма определения координат ДЭР.

В самолетной угловой системе координаты точки  $C$  определяются следующим образом:

$$\phi_C = \phi_0 \pm (\alpha_0 - \alpha_n) \sin \beta, \quad \theta_C = \theta_0 \pm (\alpha_n - \alpha_0) \cos \beta. \quad (7)$$

5. Для нахождения угловых координат точек  $A$  и  $B$ , расположенных на концах продольной оси ДЭР, рассматриваются две системы координат:  $\langle O, \phi, \theta \rangle$  и  $\langle O, \phi_1, \theta_1 \rangle$ , повернутые одна относительно другой на угол  $(90^\circ - \beta)$  (см. рис. 2). В системе  $\langle O, \phi_1, \theta_1 \rangle$  угловые координаты точки  $B$  определяются из уравнения окружности с угловым радиусом  $\Delta\phi/2$ , который задается угловым размером круговой ДНА:

$$\phi_{1B} = \alpha_0 - \alpha_n, \quad \theta_{1B} = ((\Delta\phi/2)^2 - \phi_{1B}^2)^{1/2}.$$

В местной угловой системе  $\langle O, \phi, \theta \rangle$

$$\phi_{0B} = \phi_{1B} \cos(90^\circ - \beta) + \theta_{1B} \sin(90^\circ - \beta) = \phi_{0C} + \theta_{1B} \cos \beta.$$

Координаты точки  $A$  находятся из условия симметрии

$$\phi_{0A} = \phi_{0C} - \theta_{1B} \cos \beta.$$

В самолетной угловой системе координат имеем

$$\varphi_A = \varphi_C \mp ((\Delta\varphi/2)^2 - (\alpha_0 - \alpha_n)^2)^{1/2} \cos\beta, \quad (8)$$

$$\varphi_B = \varphi_C \pm ((\Delta\varphi/2)^2 - (\alpha_0 - \alpha_n)^2)^{1/2} \cos\beta.$$

Таким образом, каждый  $n$ -й угломерный ДЭР в составе рассматриваемого угломерного ЭР описывается как область  $\{(\varphi, \theta)\}_n$  следующей системой:

$$\begin{aligned} \varphi_A - \Delta_1\varphi &\leq \varphi \leq \varphi_B + \Delta_1\varphi, & \theta(\varphi) - \Delta_1\theta &\leq \theta \leq \theta(\varphi) + \Delta_1\theta, \\ \Delta_1\varphi &= (\Delta\alpha_n/2)\sin\beta, & \Delta_1\theta &= (\Delta\alpha_n/2)\cos\beta, \end{aligned} \quad (9)$$

где зависимость  $\theta(\varphi)$  задается линейным уравнением центральной продольной оси ДЭР:

$$\theta(\varphi) = \theta_C + b(\varphi - \varphi_C). \quad (10)$$

6. Практически угловые размеры всех ДЭР в составе данного ЭР удобно принять одинаковыми, а расчет проводить только для одного центрального ДЭР при  $\alpha_n = \alpha_0$ , тогда

$$\varphi_A = \varphi_C \mp (\Delta\varphi/2)\cos\beta, \quad \varphi_B = \varphi_C \pm (\Delta\varphi/2)\cos\beta.$$

В случае веерной ДНА ( $\Delta\theta \gg \Delta\varphi$ ), которую целесообразно применять при малых значениях коэффициента  $b$ , расчет  $\varphi_A$ ,  $\varphi_B$  и  $\varphi_C$  упрощается:

$$\varphi_A = \varphi_C - \Delta\varphi/2, \quad \varphi_B = \varphi_C + \Delta\varphi/2, \quad \varphi_C = \varphi_0.$$

Расчет  $\theta_C$  и зависимости  $\theta(\varphi)$  осуществляется аналогично (7) и (10).

**Алгоритм определения координат доплеровского элемента разрешения.** 1. Для каждого  $J$ -го элемента разрешения по углам  $\varphi$  и  $\theta$ , заданного в сферических координатах в виде угломерной области

$$G_0 = \{(\varphi, \theta)\}_{JK} = \{(\varphi_0, \theta_0), (\Delta\varphi, \Delta\theta)\}$$

с центром  $(\varphi_0, \theta_0)$  и размерами  $\Delta\varphi, \Delta\theta$ , определяется доплеровский угол  $\alpha_0$ , соответствующий центру ЭР, по формуле (6).

2. Находится диапазон  $[\alpha_{\min}, \alpha_{\max}]_{JK}$  значений доплеровского угла  $\alpha$ , соответствующий данному ЭР, где в случае круговой (точечной) ДНА  $\alpha_{\min} = \alpha_0 - \Delta\varphi/2$ ,  $\alpha_{\max} = \alpha_0 + \Delta\varphi/2$ , и устанавливается соответствие

$$[\alpha_{\min}, \alpha_{\max}]_{JK} \sim [f_{\min}, f_{\max}]_{JK}$$

с полосой доплеровских частот, так что каждому  $L$ -му угловому промежутку  $[\alpha_L, \alpha_{L+1}] \subset [\alpha_{\min}, \alpha_{\max}]$  доплеровского элемента разрешения  $D_0 = D_0(J, K, L) \subset G_0$  соответствует полоса частот  $[f_L, f_{L+1}] \subset [f_{\min}, f_{\max}]$  доплеровского фильтра.

3. Для каждого  $L$ -го ДЭР определяются доплеровский угол  $\alpha = (\alpha_L + \alpha_{L+1})/2$ , разрешение по углу  $\Delta\alpha = \alpha_{L+1} - \alpha_L$  и вычисляются угло-

вые сферические координаты центра  $\phi_C$  и краевых точек  $\phi_A, \phi_B$  ДЭР по формулам (7), (8), (4):

$$\begin{aligned}\phi_C &= \phi_0 \pm (\alpha_0 - \alpha) \sin \beta, \\ \phi_A &= \phi_C \mp ((\Delta\phi/2)^2 - (\alpha_0 - \alpha)^2)^{1/2} \cos \beta, \\ \phi_B &= \phi_C \pm ((\Delta\phi/2)^2 - (\alpha_0 - \alpha)^2)^{1/2} \cos \beta, \\ \cos \beta &= \pm |\cos \phi_0| (1 + \sin^2 \phi_0 \cdot \operatorname{ctg}^2 \theta_0)^{1/2},\end{aligned}$$

где знаки определяются взаимным положением векторов  $\mathbf{v}$  и  $\mathbf{a}_0$ .

4. Каждый  $J$ - $, K$ - $, L$ -й угломерный ДЭР  $D_0 = \{(\phi, \theta, \alpha)\}_{JKL}$  описывается в угловых сферических координатах  $\phi$  и  $\theta$  по формулам (9), (10), (3) или (5):

$$\phi_A - \Delta_1 \phi \leq \phi \leq \phi_B + \Delta_1 \phi, \quad \theta(\phi) - \Delta_1 \theta \leq \theta \leq \theta(\phi) + \Delta_1 \theta,$$

где

$$\begin{aligned}\Delta_1 \phi &= (\Delta\alpha/2) \sin \beta, \quad \Delta_1 \theta = (\Delta\alpha/2) \cos \beta, \quad \theta(\phi) = \theta_C + b(\phi - \phi_C), \\ \theta_C &= \theta_0 \pm (\alpha - \alpha_0) \cos \beta, \quad b = \pm |\operatorname{tg} \phi_0| (1 + \operatorname{ctg}^2 \theta_0)^{1/2}.\end{aligned}$$

Расчеты не зависят от дальности  $R$  и выполняются заранее для различных значений  $\phi_0$  и  $\theta_0$ , которые определяются режимом наблюдения РЛС. Практически описание  $D_0$  сводится к запоминанию системы чисел  $(\phi_C, \Delta_2 \phi, \theta_1, \theta_2, b, \alpha)_{JKL}$ , где

$$\Delta_2 \phi = ((\Delta\phi/2)^2 - (\alpha_0 - \alpha)^2)^{1/2} \cos \beta + \Delta_1 \phi,$$

$$\theta_1 = \theta_C - b\phi_C - \Delta_1 \theta, \quad \theta_2 = \theta_C - b\phi_C + \Delta_2 \theta.$$

Тогда

$$\begin{aligned}D_0 &= D_0(J, K, L) = \\ &= \{(\phi, \theta): \phi_C - \Delta_2 \phi \leq \phi \leq \phi_C + \Delta_2 \phi, \theta_1 + b\phi \leq \theta \leq \theta_2 + b\phi\}_{JKL}.\end{aligned}$$

5. После квантования дальности  $R$  на промежутке  $[R_{\min}, R_{\max}]$  с шагом  $\Delta R$  ДЭР принимает окончательный вид:

$$D = D(I, J, K, L) = \{(R, \phi, \theta): R_I - \Delta R/2 \leq R \leq R_I + \Delta R/2,$$

$$\phi_C - \Delta_2 \phi \leq \phi \leq \phi_C + \Delta_2 \phi, \theta_1 + b\phi \leq \theta \leq \theta_2 + b\phi\}_{JKL} \subset D_0$$

и описывается системой чисел  $(R, \phi_C, \Delta_2 \phi, \theta_1, \theta_2, b, \alpha)_{JKL}$ .

Каждой области  $D$  ставится в соответствие амплитуда  $A = A(D) = A(I, J, K, L)$  сигнала, полученного в  $I$ -м промежутке дальности  $[R_I, R_{I+1}]$  при  $J$ - $, K$ -м положении антенны и в  $L$ -м диапазоне частот  $[f_L, f_{L+1}]$ .

6. Для динамических систем обработки РЛ-информации о поверхности во времени [1, 2] осуществляется пересчет амплитуд  $A = A(D) = A(R, \phi, \theta)$  в единую прямоугольную систему координат  $A = A(z, y, z)$ ,  $z = h(x, y)$ , путем

создания прямоугольной сетки с шагом дискретизации  $\Delta x$ ,  $\Delta y$ ,  $\Delta z$  и присвоения элементу дискретизации  $(i, j, k)$  амплитуды  $A(D)$  той области  $D$ , в которой он оказывается. Проверка принадлежности  $(x, y, z) \in D$  осуществляется проверкой выполнения системы неравенств  $R_I - \Delta R/2 \leq R \leq R_I + \Delta R/2$ ,  $\Phi_C - \Delta_2\Phi \leq \varphi \leq \Phi_C + \Delta_2\Phi$ ,  $\theta_1 + b\varphi \leq \theta \leq \theta_2 + b\varphi$  для сферических координат  $R, \varphi, \theta$  точки  $(x, y, z)$ . Для уменьшения размерности максимальное значение координаты  $z$  запоминается в функции  $x$  и  $y$  как первичная оценка высоты:  $z = h(x, y)$ . В результате по всем  $i$ -,  $j$ -м элементам дискретизации формируются матрицы амплитуд  $A(i, j)$  и высот  $H(i, j)$ . Последовательность первичных изображений поверхности в виде матриц  $A_N(i, j)$ ,  $H_N(i, j)$  с привязкой к дискретным моментам времени обзора  $t_N$ ,  $N = 0, 1, 2, \dots$ , подается на вход алгоритмов вторичной обработки РЛ-информации.

**Заключение.** Предложенная методика и алгоритм определения координат доплеровских элементов разрешения по данным первичной обработки БРЛС дают описание ДЭР в сферической и трехмерной прямоугольной системах координат для произвольного положения движущегося объекта-носителя РЛС. Такая методика по сравнению с существующими подходами позволяет использовать доплеровскую информацию для улучшения разрешения не только по азимуту  $\varphi$ , но и по углу места  $\theta$ , что способствует повышению в несколько раз точности определения высоты поверхности в БРЛС переднебокового обзора (при определенном взаимном положении векторов  $v$  и  $a_0$ ), а также улучшению качества изображения поверхности за счет уменьшения угловых размеров элементов разрешения антенны при маловысотном полете.

#### СПИСОК ЛИТЕРАТУРЫ

1. Ключко В. К., Ермаков А. А. Алгоритмы фильтрации и сегментации трехмерных радиолокационных изображений поверхности // Автометрия. 2002. № 4. С. 41.
2. Ключко В. К., Мойбенко В. И. Концепция пространственно-временной обработки радиолокационных изображений поверхности на базе бортовых РЛС с электронным сканированием // Радиопромышленность. 2001. № 3. С. 10.

Рязанская государственная радиотехническая академия,  
E-mail: VM@RGRTA.RYAZAN.RU

Поступила в редакцию  
26 июля 2001 г.